

東京大学地震研究所 正員 藤野陽三  
 東京大学 工学部 正員 伊藤学  
 東京大学 大学院 ○学生員 木下誠也

1 はじめに 構造設計手法は従来の許容応力度設計(ASD)に代わり、限界状態設計法を組み合わせて、個々の強度、荷重に安全係数をかける荷重係数設計法(LFD)、またはほぼ等価な設計法が設計標準の中に組み入れられる方向にある。この設計法は各変数(強度、荷重)の統計的特性に応じた係数を課すこと出来るという点でより自由度が大きいものといえる。<sup>1)</sup>

ある与えられた目的(例えば、重量、信頼性レベル)を達成するように、個々の安全係数の値を選らべることをキャリブレーション(code calibration)という。確率論を基盤とする設計法を認めた上で、目標とする信頼性レベルを与えて、係数値を決めていくキャリブレーションが合理的であろう。このような方法により、主として建築構造物ではあるが、歐米では設計法の動作作業が進められている。<sup>2)3)</sup>目標とする信頼性レベルは現行設計の信頼性解析により求められたものに工学的、社会経済的判断を加味した形で決めるのが望ましいであろう。

本報告では、鋼道路橋LFDのキャリブレーションを念頭において、まず現行ASDの信頼性レベルを安全性指標 $\beta$ (Safety Index)で表し、スパンに応じて求める。次にキャリブレーションにおける目標とする信頼性レベルの決め方について、信頼性理論および破壊を考えたコストの最小化の2つの立場から考察する。

## 2 現行ASDの信頼性レベル

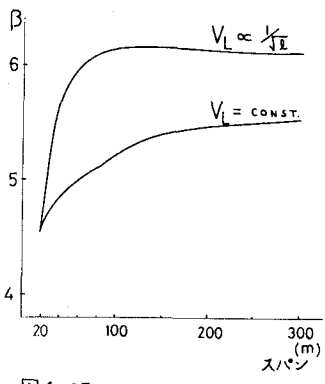
ここではスパン20m以上の2車線幅6mの鋼橋を対象とする。安全性指標は

$$\beta = \ln(\bar{R}/S) / \sqrt{V_R^2 + V_S^2} \quad (1)$$

で定義する。ここで $R, S$ は強度、荷重作用、 $\bar{R}$ は平均、 $V$ は変動係数を意味する。限界状態を弾性限界として、主荷重である設計死荷重、衝撃荷重 $D^*$ 、 $L^*$ 、 $I^*$ をして安全率 $P$ によりASDによる公称強度 $R^*$ は $R^* = P(D^* + L^* + I^*)$ となる。ここで現行設計の安全率 $P$ は1.7程度であるといえよう。 $L^*$ は $L=20$ 荷重として求められ、 $I^*$ はスパン $l$ (m)に対し、 $I^* = 20L^*/50+l$ で与えられる。また $\bar{R} = \nu_L R^*$ で与えられ、ここでは $\nu_L = 1.2, V_R = 0.15$ とする。スパン $l$ に対する $D^*$ と $L^*$ の比は表-1のようになる。以上により $\bar{R}$ が求められる。荷重作用 $S$ は $S = TE$ の形をとるものとする。Tは全荷重、Eは荷重解析に伴う誤差を示す。衝撃を考慮しても通常走行時の活荷重は渋滞時のもれよりも小さいから、Tは死荷重Dと渋滞時活荷重Lの和で表わせる。 $E=1.0, V_E=0.05, V_D = D^*/D = 1.0, V_L = 0.05$ とする。渋滞時活荷重については建設省土木研究所による調査がある。<sup>4)</sup>それによれば $\nu_L = L/L^*$ は0.6前後であるが、橋の使用期間が最低數十年に及ぶことを考えて、 $\nu_L = 1.0$ とする。 $V_L$ についてはその調査によれば予想に反し、スパンに拘らず0.3程度である。確率論的に考えると $V_L$ はおよそスパンの $1/l$ 乗に比例して減少する筈である。ここでは $V_L = 0.30, 0.30\sqrt{20/l}$ の2つの値を採用した。恐らくはこれら中間の値を実際はとるものと思われる。

以上の統計値、式(1)により $\beta$ を計算したのが図-1である。 $V_L$ のとり方によりかなり違った値になるが、どちらにしても現行設計は長いスパンの橋に対してより大きな安全性をもたらしていることが分る。

表1 死荷重・活荷重比

図1 現行の鋼道路橋の  
安全性指標 $\beta$

3 目標とすべき信頼性レベルについて キャリブレーションに際し、目標とする信頼性レベルは図-1を土台として、工学的判断を加味して行なわれることになるが、ここでは理論的アプローチによる2つの決め方を述べる。

3.1 直列モデル 橋梁構造は形式によつて異なるが、一般に板、柱要素が継手によって複雑に結合しており、信頼性解析のためのモデル化が非常に難しく述べる。ただ橋のような線状構造物の場合、各断面を同じ信頼性で設計したら構造系全体の信頼性は長くなるに従い、落ちてくるであろう。ここでは単純に考えて図-2に示すような直列モデルがあつてはまり、橋全体の信頼性はスパンのべき乗に比例するとする。スパンによらず信頼性が一定となるためにはスパンの橋の主要部材の安全性指標。

$$\beta' = -\Phi^{-1} \left\{ \left[ 1 - (1 - \Phi(\beta_u))^{\frac{l_u}{l}} \right] \right\} \quad (2)$$

で設計されなければならない。ここで  $R/S$  は対数正規分布をなすものとする。 $\Phi(\cdot)$  は標準正規分布関数、 $\beta_u$  はある基準とするスパン  $l_u$  の橋の有するべき安全性指標である。 $l_u = 20m$  とし、(1) 3 (1) 3 な  $\beta_u$  に対して式(2)より  $\beta'$  を求めたのが図-3である。 $\beta'$  はスパンが長くなるに従い、ゆるやかに増大する。

3.2 コストの最小化 構造物の全コスト  $C_T$  は建設費  $C_I$  と破壊確率  $P_F$ 、そして破壊コスト  $C_F$  により

$$C_T = C_I + P_F C_F \quad (3)$$

と表わせる。また  $C_I$  はスパンと安全性  $\beta$  の関数として、近似的に

$$C_I = (a l + b) \cdot l \cdot (a' + b' \beta) \quad (4)$$

と表わせよう。ここで  $a, b, a', b'$  は定数。 $C_F = C_F(l)$  とする。スパン  $l_u$  の橋に対して  $\beta_u$  が  $C_T$  を最小化しているとする。 $\partial P_F / \partial \beta$  が  $0.12 e^{0.15 \beta}$ 、 $P_F$  が  $l \Phi(\beta) / l_u$  で近似的に与えらかることで使って、安全性指標

$$\beta''_1 = -0.15 + \sqrt{(\beta_u + 0.15)^2 + 2 \ln \left\{ (a + b/l_u) / (a + b/l) \right\}} \quad (C_F \propto l \text{ のとき}) \quad (5)$$

$$\beta''_2 = -0.15 + \sqrt{(\beta_u + 0.15)^2 + 2 \ln \left\{ a/l_u + b/l_u^2 \right\} / (a/l + b/l^2)} \quad (C_F \propto l^2 \text{ のとき})$$

がスパン  $l$  の橋の全コスト  $C_T$  を最小化する。 $a = 6/7, b = 1/7^{5/2}$  とし、 $l_u = 20m$  とおき、(1) 3 (1) 3 な  $\beta_u$  に対する  $\beta''_1, \beta''_2$  を図-4に示す。 $C_F$  の評価により目標とする安全指標は大きく変わる。スパンが長くなれば lifeline としての重要度も一段と増すであろうから、 $C_F \propto l^2$  即ち  $\beta''_2$  を選ぶのが妥当かもしれない。

最後に、現行設計による  $\beta$ 、そしてスパン 20m のときの  $\beta$  を  $\beta_u$  としておまる  $\beta', \beta'', \beta'''$  を図-5に示す。スパン 20m のときの  $\beta = 4.6$  を認めると、現行設計は長スパン橋に対し安全側すぎるよう見える。キャリブレーションに際しては両者はほぼ一致する  $\beta', \beta''$  を目標とする安全指標とおくのが合理的と思われる。

4 参考文献 1.伊藤“安全性の規範”土木学会誌、1976, 9月号。2 Galambos, Ravindra “Proposed Criteria for Load and Resistance Factor Design of Steel Building Structures” Res. Report, Washington Univ. 1976 May. 3 FUJINO, LIND, NOWAK, “Risk Analysis Procedures” Res. Report, Univ. of Waterloo, 1977 March. 4 国交省、朝倉，“自動車荷重の実態からみた道路橋構造の設計荷重”土木技術資料 1973, 4月号。5 松本嘉司、土木構造設計、丸善、1976

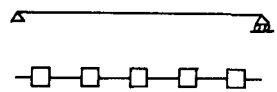


図-2：直列信頼性モデル

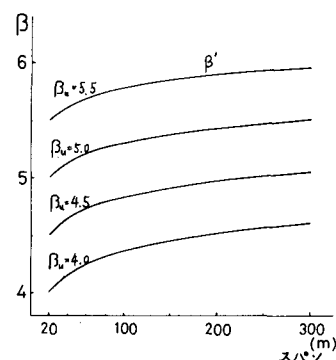


図3 直列モデルによる  
目標とする安全性指標  $\beta'$

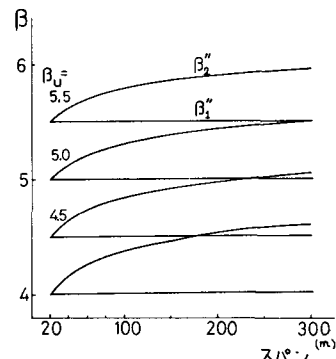


図4 コスト最小化による  
目標とする安全性指標  $\beta'', \beta''_2$

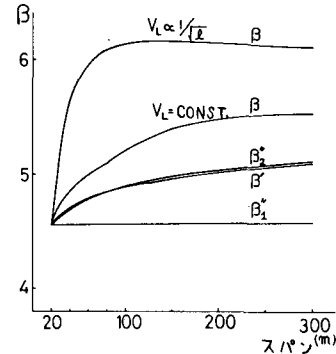


図5 安全性指標の比較